

iMat
Conference 2014

3rd International Engineering
Materials & Metallurgy Conference

هشتمین همایش مشترک و سومین کنفرانس بین المللی

مواد مهندسی و متالورژی

(انجمن مهندسين متالورژی ايران و انجمن علمی ريخته گری ايران)



18 - 19 Nov., 2014 ۲۷ و ۲۸ آبان ۱۳۹۳

Shahid Beheshti Conference Center, Tehran, Iran مرکز همایش های بین المللی شهید بهشتی، تهران

گواهی حضور در کنفرانس

شماره گواهی: ۹۳۰۸۱۸۴

بدینوسیله گواهی می گردد جناب آقای اسرکار خانم بهرام بندش طلی روزهای ۲۷ و ۲۸ آبان ماه ۱۳۹۳ در مرکز همایش های شهید بهشتی، تهران، به مدت ۱۸ ساعت در هشتمین همایش مشترک و سومین کنفرانس بین المللی مواد مهندسی و متالورژی حضور داشته و از مباحث آموزشی این کنفرانس استفاده نموده اند.

دکتر فرزند مالک

دبیر کنفرانس



Micro scale modeling of deformation behavior of austenite stainless steel using crystal plasticity finite element modeling

Bahram Bandeshah¹

Abdolrahman Jaamialahmadi², Bahram Bandeshah

Ferdowsi University Of Mashhad

jaami-a@um.ac.ir

Abstract

Anisotropic nature of grain in polycrystalline causes these materials to show completely different behavior at meso (0.01mm) and micro scale than they do at macro scale. This means that deformation at these scales is heterogeneous and cannot be modeled using constitutive equation in continuum plasticity. In this paper, in order to investigate deformation behavior of 316L stainless steel at micro scale a crystal plasticity finite element (CPFE) modeling system has been developed. The crystal plasticity equations were implemented in the ABAQUS/Implicit FE code through a user-defined material subroutine, UMAT. Verification was done through comparing the CPFE result against those obtained through implementing crystal plasticity formulation in MATLAB software. Comparison show good agreement between the analytical and CFFE result. Finally three dimensional simulation of tensile test on Stainless Steel type 316L is carried out using CPFE method and continuum macro mechanic FE. Deformation and localization behavior of single grain specimen at tensile test has been captured and predicted using CPFE method; on the other hand, macro mechanic finite element is unable of predicting localization and evolution of lattice at micro and meso scale.

Keywords: crystal plasticity FE modeling, UMAT, micro-mechanics modeling, stainless steel 316L.

¹ M.Sc student in mechanical engineering, microstructural level deformation modeling

² Associate professor, analytical and numerical modeling of forming process, micro forming, forming limit diagrams(FLD), Manufacturing and production.

مطالعه رفتار تغییر شکل فولاد ضدزنگ آستنیتی در مقیاس میکرو با استفاده از روش اجزاء محدود کریستال پلاستیسیته

بهرام بندشه^۱

عبدالرحمان جامی الاحمدی^{۲*}، بهرام بندشه

دانشکده مهندسی مکانیک دانشگاه فردوسی مشهد

jaami-a@um.ac.ir

چکیده

مواد کریستالی در مقیاس میکرو و مزو (۰.۰۱ میلی‌متر) رفتار کاملاً متفاوتی از آنچه در مقیاس ماکرو دارند، نشان می‌دهند. ماهیت ناهمسانگرد دانه‌های موجود در بافت فلزات باعث به وجود آمدن ناسازگاری بین دانه‌ها در هنگام تغییر شکل می‌شود. این یعنی تغییر شکل در مقیاس میکرو به صورت ناهمگن می‌باشد و با قوانین بنیادی تئوری پلاستیسیته مواد پیوسته نمی‌توان آن را مورد بررسی قرار داد. در این مقاله جهت بررسی رفتار تغییر شکل فولاد ضدزنگ آستنیتی 316L در مقیاس میکرو یک رویه بر مبنای روش اجزاء محدود کریستال پلاستیسیته انتخاب شده است. ابتدا فرمول بندی مدل ماده بر اساس روابط بنیادی ماده در کریستال پلاستیسیته در قالب زیر برنامه UMAT به نرم افزار آباکوس معرفی شده است. برای اعتبار سنجی، نتایج حل اجزاء محدود کریستال پلاستیسیته حاصل از آباکوس با نتایج حاصل از حل تحلیلی روابط موجود در کریستال پلاستیسیته و برنامه نوشته شده در نرم افزار متلب، مقایسه شده است. نتیجه مقایسه حاکی از تطابق خوب نتایج عددی و تحلیلی می‌باشد. در پایان شبیه‌سازی آزمون کشش روی نمونه فولاد ضدزنگ حاوی یک دانه انجام شده است و با برخی نتایج تجربی مورد مقایسه قرار گرفته است. نتایج نشان داد رفتار تغییر شکل و موضعی شدن آن با روش پیشنهاد شده قابل پیش بینی بوده در حالیکه روش اجزاء محدود ماکرو مکانیک ناتوان از شناسایی این رفتارها در مقیاس میکرو و مزو می‌باشد.

واژه‌های کلیدی: روش اجزاء محدود کریستال پلاستیسیته، زیر برنامه UMAT، میکرو مکانیک، فولاد ضدزنگ 316L

^۱ - دانشجوی کارشناسی ارشد مهندسی مکانیک، گرایش ساخت و تولید، دانشگاه فردوسی مشهد

^۲ - استادیار گروه مهندسی مکانیک، مدل‌سازی تحلیلی و عددی فرآیندهای شکل‌دهی، میکروفرمینگ، نمودارهای حد شکلی دهی، ساخت و تولید

مقدمه

گستره وسیعی از فلزات مورد استفاده در کاربردهای مهندسی به صورت پلی کریستال می باشند. ناهمسانگردی الاستیک و پلاستیک دانه‌ها در مواد پلی کریستال باعث به وجود آمدن یک ناسازگاری بین دانه‌ها می شود. وجود این واقعیت در فرایند تغییر شکل فلزات دلالت بر این دارد که تغییر شکل در مقیاس میکروساختار ناهمگن می باشد. مواد پلی کریستال در مقیاس میکرو (10^{-10} M) و مزو (10^{-5} M) رفتار بسیار متفاوتی از آنچه در مقیاس ماکرو دارند از خود نشان می دهند (Gonzalez, 2012). در نتیجه تنش‌های محلی، کرنش‌ها، و دوران‌های درون هر دانه به صورت غیریکنواخت و ناپیوسته خواهد بود. تنش‌ها، کرنش و دوران‌ها نه تنها به جهت دانه‌ها بستگی خواهند داشت بلکه از قیدها و محدودیت‌هایی که دانه‌های مجاور ایجاد می کنند، نیز تاثیر خواهند پذیرفت.

رهیافت‌های مرتبط با تعیین خواص ماکروسکوپی مواد همانند مقاومت به تسلیم، خستگی و شکست سال‌هاست که شناخته شده می باشند. در این میان به دلیل مشکل بودن اندازه‌گیری تنش‌ها در درون دانه‌ها زمینه مدل‌سازی رفتار مواد در مقیاس‌های مختلف توجه محققان را به خود معطوف داشته است (Metallforschung, 2002). با مدل‌سازی قوانین فیزیکی حاکم در مقیاس مزو^۱ یا همان مقیاس دانه، استخراج خواص مواد در مقیاس ماکرو امکان پذیر خواهد بود. این زمینه از مطالعات بین رشته‌ای مهندسی مواد و مکانیک که سعی در بررسی روش‌های مناسب برای مدل‌سازی مواد در مقیاس‌های متفاوت دارد و اینکه چگونه مقیاس‌های متفاوت به یکدیگر مرتبط هستند، با عنوان مدل‌سازی چند مقیاسی مواد^۲ شناخته می شود. مثلاً واماندگی در مقیاس ماکرو اغلب دلالت بر این دارد که نواحی مشخصی از ماده در مقیاس میکرو دچار واماندگی شده‌اند یا ثابت شده که مشخصات مرزدانه‌ها در توضیح و کنترل پلاستیسیته مواد در دمای بالا، ابرپلاستیسیته مواد^۳ و شکنندگی^۴ نقش بسزایی دارند (WATANABE, 1993). اساساً درک بهتر از اینکه چه ریزساختاری آسیب پذیرتر می باشد، ما را قادر خواهد ساخت تا موادی بهتر از لحاظ کارایی و بهره‌وری در مقیاس ماکرو طراحی نماییم که مثال‌هایی از آن می‌توانند شامل تولید میکروساختار با رفتار الاستیک-پلاستیک مطلوب در مقیاس ماکرو و یا تولید دوقلویی مقاوم به خوردگی باشد (Asaro & Lubarda, 2006).

از مطالعات انجام شده در این زمینه می‌توان به مقاله (M. Marvi-Mashhadi, 2012) اشاره کرد. آن‌ها در مقاله خود با استفاده از تصویر برداری SEM^۵، میکروساختار دوبعدی فولاد دوفازی فریت-مارتنزیت را تولید کردند و با تعریف مدل ماده وس^۶ در نرم‌افزار اباکوس و وارد کردن مدل هندسی میکروساختار به دست آمده از تصویر برداری SEM به نرم‌افزار اباکوس، منحنی تنش کرنش و الگوی شکست فولاد دوفازی را شبیه‌سازی کردند. (Han & P, 2005) آلیاژی مجازی از آهن و مس را با هدف تعیین تنش بین‌گره‌ها در فازهای مختلف شبیه‌سازی کردند. (Paul, 2013) مطالعه‌ای میکرومکانیکی بر روی میکروساختار فولاد دوفازی

¹ Meso

² Multi-scale material modeling

³ Superplasticity

⁴ fragility

⁵ Scanning electron microscope

⁶ Voce

DP590 با هدف مشاهده رفتار تغییرشکل، موضعی شدن کرنش پلاستیک و ناپایداری پلاستیک انجام داد. در تحقیق یاد شده موضعی شدن کرنش به خاطر تغییرشکل‌های ناسازگار بین فاز سخت مارتنزیت و فاز نرم فریت، گزارش شد. همچنین الگوهای واماندگی متفاوت بر روی مدل اجزاء محدود مورد بررسی قرار گرفت. وی دریافت که الگوی واماندگی موضعی ارتباط تنگاتنگی با وضعیت تنش در ماده دارد. (Gonzalez, 2012) در رساله دکتری خود تغییرشکل پلی کریستال‌ها و تنش‌های پسماند در آن‌ها را در مقیاس میکروساختار مورد بررسی قرار داد. وی در قسمتی از رساله خود حساسیت فولاد ضدزنگ 316L را نسبت به مسیر کرنش در مقیاس میکروساختار مورد بررسی قرار داد.

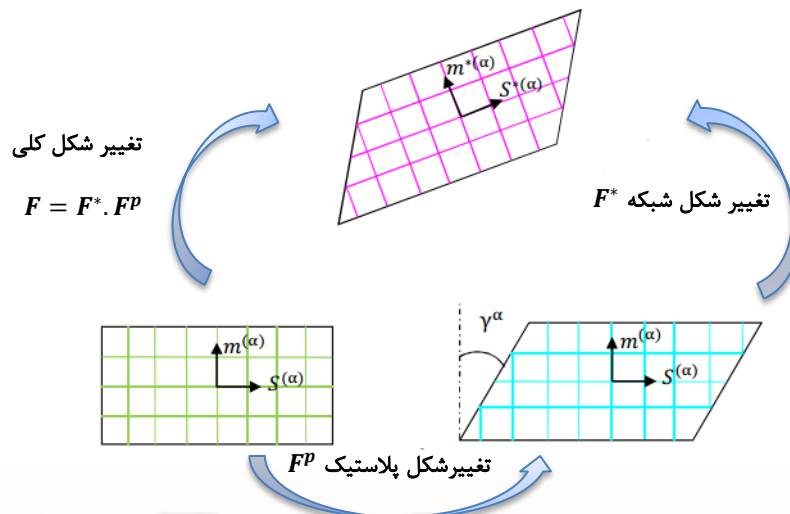
فولادهای ضدزنگ با توجه به خواص خوبی که دارند داری کاربردهای زیادی در صنعت می‌باشند. در صنعت چهار گروه فولاد ضدزنگ موجود می‌باشد که عبارت‌اند از فولادهای ضدزنگ آستنیتی، فولادهای ضدزنگ فریتی، فولادهای ضدزنگ مارتنزیتی و فولادهای ضدزنگ دوفاز آستنیت و فریت می‌باشند. توجه به کاربردهای فراوان فولادهای ضد زنگ آستنیتی در میان چهار گروه فولاد ضدزنگ یاد شده، فولاد ضدزنگ آستنیتی گرید 316L برای شبیه سازی در این تحقیق در نظر گرفته شد. از کاربردهای این نوع فولاد می‌توان به استفاده آن‌ها در تولید میکرولوله‌ها، تجهیزات پزشکی مانند استنت‌های^۱ کرونری، سرنگ‌های انسلین، سوزن‌های آنژیو گرافی اشاره کرد. با توجه به اینکه ابعاد این محصولات و بخصوص استنت‌ها که برای بازکردن گرفتگی عروق کرونری مورد استفاده قرار می‌گیرند در مقیاس دهم میلیمتر (0.1mm) می‌باشند باید مطالعه رفتار مواد آن‌ها در مقیاس میکرو صورت گیرد تا بتوان پدیده‌های میکرومکانیکی را هم در نظر گرفت. (McGarry, O'Donnell, McHugh, & McGarry, 2004).

در این مقاله جهت بررسی رفتار تغییرشکل فولاد ضدزنگ آستنیتی 316L در مقیاس میکرو یک رویه بر مبنای پلاستیسیته کریستال‌ها انتخاب شده است، که در بخش مبانی نظری پژوهش روابط موجود در کریستال پلاستیسیته اجمالا از نظر گذرانده خواهند شد. در بخش بعد برای انجام سنجش قابلیت استناد نتایج، روابط تحلیلی موجود در کریستال پلاستیسیته در نرم‌افزار متلب به کار گرفته می‌شود و مسئله تغییر شکل یک تک کریستال با استفاده از آن حل می‌شود. در ادامه نتایج حاصل از شبیه سازی اجزاء محدود با نتایج حاصل از حل تحلیلی مورد مقایسه قرار گرفت. نتیجه مقایسه حاکی از تطابق نتایج حل تحلیلی و نتایج حاصل از به کارگیری روش اجزاء محدود کریستال پلاستیسه در نرم‌افزار اباکوس بود. در گام بعدی و در بخش پایانی مقاله به شبیه سازی آزمون کشش روی یک مدل با یک دانه پرداخته شده است.

● سینماتیک پایه تغییر شکل در کریستال‌ها

در جامد کریستالی فرض می‌شود که نمو تغییرشکل در دو مرحله اتفاق می‌افتد. در مرحله اول ماده از حالت مرجع توسط برش ساده روی یک سیستم لغزشی دچار تغییر شکل پلاستیک می‌شود. در مرحله دوم اتساع و چرخش شبکه اتفاق می‌افتد. که این موضوع در شکل ۲ نمایش داده شده است. بنابراین گرادبان تغییرشکل را می‌توان به دو بخش به صورت زیر تجزیه نمود (Asaro & Lubarda, 2006)

¹ Stent



شکل ۱- گرادیان تغییر شکل F و تجزیه آن با استفاده از رابطه $F = F^* \cdot F^P$

$$F = F^* \cdot F^P \quad (۱)$$

که در آن F^P ، گرادیان تغییر شکل حاصل از لغزش پلاستیک بر روی سیستم‌های لغزش و F^* ، حاصل اتساع و چرخش شبکه کریستالی است. با معرفی گرادیان تغییر شکل می‌توان جهت و بردار عمود بر سطح سیستم لغزشی را بعد از تغییر شکل به دست آورد.

$$S^{*(\alpha)} = F^* \cdot S^{(\alpha)} \quad (۲)$$

$$m^{*(\alpha)} = m^{(\alpha)} \cdot F^{*-1} \quad (۳)$$

که در آن $m^{(\alpha)}$ و $S^{(\alpha)}$ به ترتیب بردار نرمال بر صفحه لغزش و بردار جهت لغزش قبل از تغییر شکل می‌باشند. با دیفرانسیل گیری از رابطه ۲ گرادیان سرعت برابر خواهد بود با:

$$L = \dot{F} \cdot F^{-1} = \dot{F}^* \cdot F^{*-1} + F^* \cdot \dot{F}^P \cdot (F^P)^{-1} \cdot (F^*)^{-1} \quad (۴)$$

که گرادیان سرعت را می‌توان به دو مولفه زیر تجزیه نمود

$$L = D + \Omega \quad (۵)$$

که در آن D و Ω به ترتیب نرخ تانسور چرخش پادمقارن و نرخ تانسور اتساع مقارن می‌باشند. با توجه به آنچه در شکل ۲ بیان شده است این دو پارامتر را می‌توان به دو قسمت تغییر شکل پلاستیک و تغییر شکل شبکه تجزیه نمود.

$$D = D^* + D^P, \quad \Omega = \Omega^* + \Omega^P \quad (۶)$$

در این صورت گرادیان سرعت مربوط به لغزش پلاستیک برابر است با:

$$D^* + \Omega^* = \dot{F}^* \cdot F^{*-1}, \quad D^P + \Omega^P = F^* \cdot \dot{F}^P \cdot (F^P)^{-1} \cdot (F^*)^{-1} \quad (7)$$

برش روی سیستم‌های لغزش سبب تغییر شکل پلاستیک می‌شود، از این رو با تعیین $\dot{\gamma}^\alpha$ که به معنای نرخ برش روی سیستم α می‌باشد داریم:

$$D^P + \Omega^P = \sum_{\alpha} \dot{\gamma}^\alpha S^{*(\alpha)} m^{*(\alpha)} \quad (8)$$

که در آن اندیس α بیانگر سیستم‌های لغزشی فعال و $\dot{\gamma}^\alpha$ نرخ کرنش سیستم α می‌باشد که نسبت به شبکه اندازه‌گیری می‌شود.

معادلات ساختاری کریستال پلاستیسته

تئوری کریستال پلاستیسته برای نمایش جریان نابجایی‌ها در راستای سیستم‌های لغزشی در فلزات کریستالی برحسب تنش برشی مولفه شده^۱ استفاده می‌شود. در این تئوری فرض بر این است که تغییر شکل پلاستیک متشکل از مجموعه‌ای از لغزش‌های کریستالی در کل سیستم‌های لغزشی فعال می‌باشد. (Asaro & Lubarda, 2006). (Erich, 1924)) دریافت که لغزش پلاستیک زمانی اتفاق می‌افتد که تنش برشی مولفه شده روی صفحه کریستالوگرافی و در جهت لغزش به یک حد بحرانی رسیده باشد. از همین رو نرخ لغزش $\dot{\gamma}^\alpha$ در هر سیستم لغزشی α به تنش برشی τ^α که بر روی سیستم لغزشی مذکور عمل می‌کند، مرتبط می‌شود. گزیده‌ای از روابط بنیادی ویسکوپلاستیک کریستال که در این مقاله استفاده شده در زیر آمده است.

$$\tau^\alpha = \sigma_{ij} \mu_{ij}^\alpha \quad (9)$$

$$\dot{\gamma}^\alpha = \text{asgn}(\tau^\alpha) (|\tau^\alpha / g^\alpha|)^n \quad (10)$$

$$\dot{g}^\alpha = \sum_{\beta} h_{\alpha\beta} \dot{\gamma}^\beta \quad \beta = 1, 2, \dots, 12 \quad (\text{کریستال FCC}) \quad (11)$$

$$\dot{\sigma}_{ij} = C_{ijkl} (\dot{\epsilon}_{kl} - \dot{\epsilon}_{kl}^p) = C_{ijkl} \left(\dot{\epsilon}_{kl} - \sum_{\alpha} \frac{1}{2} \dot{\gamma}^\alpha (S_{\alpha k}^{\alpha} M_{\alpha l}^{\alpha} + S_{\alpha l}^{\alpha} M_{\alpha k}^{\alpha}) \right) \quad (12)$$

تعداد سیستم‌های لغزش به نوع شبکه کریستالی بستگی دارد، برای مثال شبکه کریستالی FCC داری چهار صفحه لغزش مستقل می‌باشد که در هر صفحه سه جهت لغزش مستقل از هم وجود دارد. در این صورت این نوع ساختار کریستالی داری ۱۲ سیستم لغزشی می‌باشد. در ابتدای تغییر شکل در همه‌ی سیستم‌های لغزشی، $\tau^\alpha = 0$ می‌باشد و جهت لغزش $S^{(\alpha)}$ و نرمال بر صفحه لغزش $m^{(\alpha)}$ برای همه‌ی المان‌های درون یک دانه خاص یکسان است. هنگامی که تغییر شکل پلاستیک رخ می‌دهد مقادیر بردار نرمال و جهت لغزش در صورت استفاده از فرمول بندی کرنش محدود، حتی در درون یک دانه نیز ممکن است دارای مقادیر مختلف برای هر کدام از ۱۲ سیستم لغزش باشند. C_{ijkl} تانسور مرتبه چهار سفتی می‌باشد و اندیس‌های $ijkl$ مقادیر بین ۱ تا ۳ را به خود می‌گیرند. در حالت اولیه ($t=0$) $\dot{\sigma}_{ij} = 0$, $\gamma^\alpha = 0$, $g^\alpha = g_0$, $\epsilon_{kl} = 0$ می‌باشند.

¹ Resolved shear stress

کرنش سختی مواد ماده مورد مطالعه با استفاده از مقاومت سیستم لغزشی نسبت به لغزش، g^α ، تعریف می‌شود. در شبکه کریستالی دو نوع سخت شونده تعریف می‌شود، اول خودسخت شونده $h_{\alpha\alpha}$ و دوم سخت شونده نهان $h_{\alpha\beta}$ (Peirce D., 1982) که به صورت مستقیم به کرنش برشی γ مرتبط می‌شود.

$$\begin{cases} h_{\alpha\beta} = h(\gamma) = h_0 \operatorname{sech}^2 |h_0 \gamma / (\tau_s - \tau_0)| & \alpha = \beta \\ qh(\gamma) & \alpha \neq \beta \end{cases} \quad (13)$$

$$\gamma = \sum_{\alpha=1}^{12} |\gamma^\alpha| \quad (14)$$

در این روابط h_0 مدول سخت شونده اولیه، τ_0 استحکام برشی اولیه، τ_s تنش جاری شدن و q فاکتور سخت شونده می‌باشد. در مدل سخت شونده ایزوتروپیک تیلور مدول سخت شونده نهان و خودسخت شونده، یکسان در نظر گرفته می‌شوند. بنابراین مقدار q برای مدول سخت شونده ایزوتروپیک برابر یک در نظر گرفته می‌شود. مقادیر پارامترهای ماده مورد استفاده از طریق انطباق پاسخ کریستال به نمودار تنش-کرنش تجربی بدست آمده‌اند و در جدول ۱ قید شده‌اند. برای جلوگیری از اثر ویسکوپلاستیک باید مقدار نسبتا بالایی برای n در نظر گرفته شود که در اینجا مقدار ۵۵ در نظر گرفته شده است (Gonzalez, 2012).

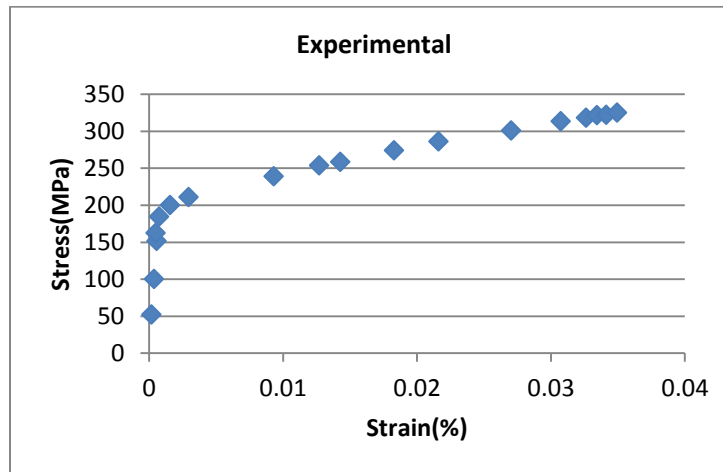
جدول ۱-مقادیر ثوابت کریستال پلاستیسیته برای فولاد ضدزنگ 316L

C_{11} (GPa)	C_{12} (GPa)	C_{44} (GPa)	n	$\dot{\alpha}$	h_0 (MPa)	τ_s (MPa)	τ_0 (MPa)
204.6	137.7	126.2	55	0.001	675	175	90

نمودار تنش-کرنش تجربی فولاد یاد شده در شکل زیر آورده شده است.

¹ Self-hardening

² Latent hardening



شکل ۲- نمودار تنش= کرنش فولاد ضدزنگ 316L

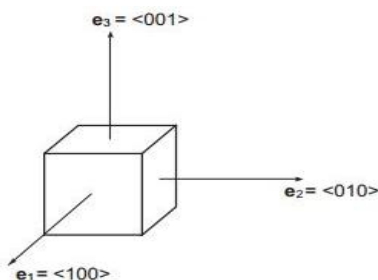
● تحلیل تغییر شکل تک کریستال فولاد ضدزنگ 316L

● حل تحلیلی تغییر شکل تک کریستال در متلب

خلاصه روابط بیان شده در بخش سینماتیک تغییر شکل در قالب کدی در نرم افزار متلب به کار گرفته شد. در این کد می توان برای دوساختار مکعبی FCC و BCC در ماده ای مشخص، با وارد کردن مقدار تنش برشی بحرانی مولفه شده و تانسور تنش وارد بر کریستال تنش برشی موثر در هر سیستم لغزشی را بدست آورد. علاوه براین، چرخش دستگاه مختصات چسبیده به کریستال نسبت به دستگاه مختصات مرجع هم می باید در محاسبه تنش برشی مولفه شده توسط کد در نظر گرفته می شود. جدول شماره ۲ نتایج حاصل از بارگذاری یک تک کریستال FCC را تحت بار 200Mpa در راستای جهت <100> را نشان می دهد. فرض شده است که جهت گیری کریستال به نحوی است که مختصات محلی که منطبق بر کریستال می باشد، و مختصات مرجع بر یکدیگر منطبق می باشند. در این حالت تانسور تنش به شکل زیر خواهد بود:

$$\begin{pmatrix} \sigma & 0 & 0 \\ 0 & 0 & 0 \\ 0 & 0 & 0 \end{pmatrix}$$

(۱۰)



شکل ۳ - نمونه کریستال FCC برای حل تحلیلی، دستگاه مختصات کریستال و دستگاه مختصات مرجع منطبق بر یکدیگر فرض شده‌اند.

با وارد کردن اطلاعات داده شده به کد متلب می‌توان اطلاعات مربوط به تانسور اشمید و تنش برشی مولفه شده در هر سیستم لغزشی که جزو پارامترهای تعیین کننده در نوع رفتار ماده می‌باشند را استخراج نمود. در جدول ۲ این اطلاعات مستخرج از کد متلب آورده شده است.

جدول ۲- مقادیر تانسور اشمید و تنش برشی مولفه شده برای ۱۲ سیستم لغزشی حاصل از حل با متلب

α	Slip system	P^α	τ_{RSS}	α	Slip system	P^α	τ_{RSS}
1	$(111)[0\bar{1}\bar{1}]$	$\frac{1}{\sqrt{6}} \begin{pmatrix} 0 & -1/2 & 1 \\ -1/2 & -1 & 0 \\ 1/2 & 0 & 1 \end{pmatrix}$	0	7	$(1\bar{1}\bar{1})[01\bar{1}]$	$\frac{1}{\sqrt{6}} \begin{pmatrix} 1 & -1/2 & 0 \\ -1/2 & 0 & 1/2 \\ 0 & 1/2 & -1 \end{pmatrix}$	0
2	$(111)[10\bar{1}]$	$\frac{1}{\sqrt{6}} \begin{pmatrix} 1 & 1/2 & 0 \\ 1/2 & 0 & -1/2 \\ 0 & -1/2 & -1 \end{pmatrix}$	81.64	8	$(1\bar{1}\bar{1})[110]$	$\frac{1}{\sqrt{6}} \begin{pmatrix} 0 & 1/2 & 1/2 \\ 1/2 & -1 & 0 \\ 1/2 & 0 & 1 \end{pmatrix}$	81.64
3	$(111)[\bar{1}10]$	$\frac{1}{\sqrt{6}} \begin{pmatrix} -1 & 0 & -1/2 \\ 0 & 1 & 1/2 \\ -1/2 & 1/2 & 0 \end{pmatrix}$	-81.64	9	$(1\bar{1}\bar{1})[10\bar{1}]$	$\frac{1}{\sqrt{6}} \begin{pmatrix} 1 & 0 & 1/2 \\ 0 & -1 & 1/2 \\ 1/2 & 1/2 & 0 \end{pmatrix}$	81.64
4	$(\bar{1}\bar{1}\bar{1})[101]$	$\frac{1}{\sqrt{6}} \begin{pmatrix} -1 & 1/2 & 0 \\ 1/2 & 0 & 1/2 \\ 0 & 1/2 & 1 \end{pmatrix}$	-81.64	10	$(11\bar{1})[011]$	$\frac{1}{\sqrt{6}} \begin{pmatrix} 1 & 1/2 & 0 \\ 1/2 & 0 & 1/2 \\ 0 & 1/2 & -1 \end{pmatrix}$	0
5	$(\bar{1}\bar{1}\bar{1})[110]$	$\frac{1}{\sqrt{6}} \begin{pmatrix} 0 & -1/2 & 1/2 \\ -1/2 & 1 & 0 \\ 1/2 & 0 & -1 \end{pmatrix}$	-81.64	11	$(11\bar{1})[101]$	$\frac{1}{\sqrt{6}} \begin{pmatrix} -1 & 0 & 1/2 \\ 0 & 1 & -1/2 \\ 1/2 & -1/2 & 0 \end{pmatrix}$	81.64
6	$(\bar{1}\bar{1}\bar{1})[0\bar{1}\bar{1}]$	$\frac{1}{\sqrt{6}} \begin{pmatrix} -1 & 0 & 1/2 \\ 0 & 1 & 1/2 \\ 1/2 & 1/2 & 0 \end{pmatrix}$	0	12	$(11\bar{1})[\bar{1}10]$	$\frac{1}{\sqrt{6}} \begin{pmatrix} 0 & 1/2 & 1/2 \\ 1/2 & 1 & 0 \\ 1/2 & 0 & -1 \end{pmatrix}$	-81.64

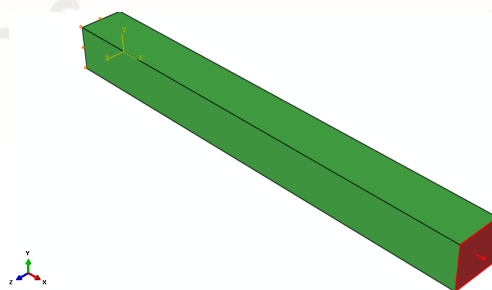
ملاحظه می‌شود بر روی سیستم‌هایی، برای مثال سیستم لغزشی شماره یک، تنش برشی مولفه شده برابر صفر می‌باشد. با یادآوری ضریب اشמיד و بدست آوردن زوایه بین جهت اعمال بار و جهت لغزش و نرمال صفحه لغزش در سیستم لغزشی شماره ۱ درستی این تحلیل اثبات می‌شود، داریم :

$$\cos \varphi = \frac{(1)(0) + 0 + 0}{\sqrt{1^2 + 0 + 0}\sqrt{0 + 1^2 + 1^2}} = 0 \Rightarrow \varphi = 90 \quad (16)$$

مشاهده می‌شود که جهت اعمال بار و جهت لغزش بر یکدیگر عمود می‌باشند. بنابراین در این جهت مقدار تنش برشی صفر می‌باشد و تغییر شکلی در این جهت اتفاق نمی‌افتد.

• شبیه سازی المان محدود کریستال پلاستیسیته (CPFEM) تغییر شکل تک کریستال

از آنجا که مدل ماده‌ی کریستال پلاستیسیته در نرم افزار آباکوس تعریف نشده این مدل ماده در قالب زیربرنامه^۱ UMAT که از قابلیت‌های نرم افزار آباکوس برای تعریف مدل مواد جدید می‌باشد، بکار گرفته شد. این کد امکان تحلیل تنش کریستال‌ها را در آباکوس فراهم می‌کند. در این کد استحکام فعلی^۲، کرنش‌های برشی، بردار عمود بر صفحات لغزش، جهات لغزش و کرنش برشی کل به عنوان متغیرهای حالت وابسته به حل در نظر گرفته شده‌اند (Huang, 1991). نتایج حاصل از شبیه سازی اجزا محدود کریستال پلاستیسیته روی یک مدل تک کریستال در این بخش ارائه می‌شود. برای انجام این مدلسازی یک المان مکعبی به ابعاد ۱۰*۱۰*۱۰ به عنوان تک کریستال فولاد ضدزنگ 316L در نظر گرفته شده است. ساختار این تک کریستال FCC و با ثوابت الاستیک و پارامترهای سخت شوندگی داده شده در جدول ۱ و دارای سیستم لغزشی {۱۱۰}>{۱۱۱} است. در شکل ۴ مسئله تک کریستال مدل شده در نرم‌افزار آباکوس ملاحظه می‌شود. المان انتخاب شده برای مش بندی کریستال دارای ۲۰ گره و ۸ نقطه انتگرالگیری می‌باشد. نوع المان انتخاب شده از گروه المان های C3D20R مربوط به خانواده المان‌های تنش سه بعدی^۳ است.



شکل ۴- مسئله تک کریستال حل شده به روش CPFEM در نرم افزار آباکوس

به منظور اعتبارسنجی روش استفاده شده در این مقاله، مقایسه تنش برشی حاصل از حل المان محدود کریستال پلاستیسیته یا

¹ User defined material subroutine

² Current strength

³ 3D-Stress

CPFEM و حل تحلیلی در جدول ۲ انجام شده است. این گروه از نتایج به دلیل اهمیتی که در تعیین قابلیت تحمل کریستال تحت یک بارگذاری معین دارند جز اصلی ترین نتایج به شمار می‌روند، بدین معنا که مقدار آن در هریک از سیستم‌های لغزشی به حد بحرانی برسد، لغزش اتفاق افتاده و در نتیجه پلاستیک شدن از همان جهت آغاز می‌شود. نتایج تا چهار رقم اعشار مورد تحلیل قرار گرفته‌اند. ملاحظه می‌کنیم که بیشینه خطای مطلق برابر ۰.۰۱ می‌باشد و این حاکی از قابلیت استناد نتایج مستخرج در این مقاله دارد.

جدول ۳-مقایسه حل تئوری اجزاء محدود تنش برشی

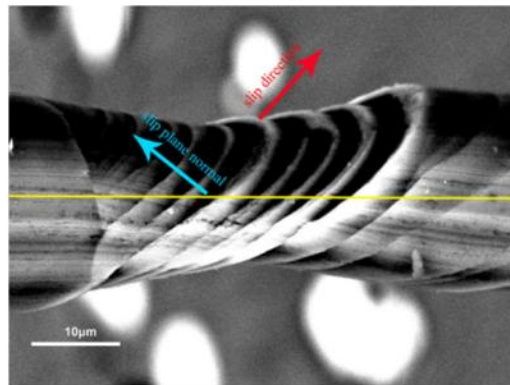
α -سیستم	τ_{crss} حل تحلیلی (Mpa)	τ_{crss} حل اجزاء محدود (Mpa)	خطای مطلق
۱	۰.۰۰۰۰	۰.۰۰۰۹	۰.۰۰۰۹
۲	۸۱.۶۴۹۷	۸۱.۶۶	۰.۰۱۰۳
۳	-۸۱.۶۴۹۷	-۸۱.۶۶	۰.۰۱۰۳
۴	-۸۱.۶۴۹۷	-۸۱.۶۶	۰.۰۱۰۳
۵	-۸۱.۶۴۹۷	-۸۱.۶۶	۰.۰۱۰۳
۶	۰.۰۰۰۰	۰.۰۰۰۹	۰.۰۰۰۹
۷	۰.۰۰۰۰	۰.۰۰۰۹	۰.۰۰۰۹
۸	۸۱.۶۴۹۷	۸۱.۶۶	۰.۰۱۰۳
۹	۸۱.۶۴۹۷	۸۱.۶۶	۰.۰۱۰۳
۱۰	۰.۰۰۰۰	۰.۰۰۰۹	۰.۰۰۰۹
۱۱	۸۱.۶۴۹۷	۸۱.۶۶	۰.۰۱۰۳
۱۲	-۸۱.۶۴۹۷	-۸۱.۶۶	۰.۰۱۰۳

• شبیه‌سازی سه‌بعدی آزمون کشش

قابلیت استناد روش انتخاب شده در بخش قبل اثبات شد. در این بخش آزمون کشش تک محوره به عنوان یکی از پایه‌ای‌ترین آزمون‌ها جهت شناسایی خواص مواد، به روش اجزاء محدود کریستال پلاستیسیته بر روی یک تک کریستال شبیه‌سازی می‌شود. آزمون کشش به عنوان یک گام اولیه در ورود به میکرومکانیک مواد و همچنین مطالعه و شبیه‌سازی فرآیندهای میکرو همانند فرایندهای میکروفورمینگ^۱ و میکرو ماشینکاری^۲ انتخاب مناسبی جهت نمایش رفتار غیر یکنواخت و وابسته به جهت مواد می‌باشد. نتایج تجربی آزمون کشش برای یک نمونه تک کریستال در شکل ۵ نمایش داده شده است.

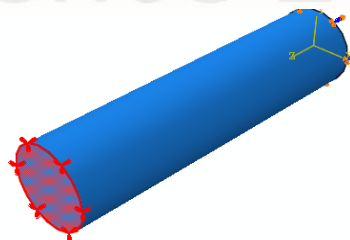
¹ Micro-forming

² Micro-machining



شکل ۵- لغزش در آزمون کشش نمونه تک کریستال (Robertson & Beaudoin, 2008)

هدف از مدل‌سازی المان محدود کریستال پلاستیسیته، (CPFEM) در این قسمت، مطالعه رفتار تک کریستال فولاد ضد زنگ 316L در ناحیه گلویی شدن و مقایسه آن با الگوی تغییر شکل ارائه شده در شکل ۵ می‌باشد. و همچنین برای اثبات عدم توانایی روش المان محدود ماکرومکانیک که از پلاستیسیته کلاسیک سود می‌برد، در پیش‌بینی رفتار ماده در میکرومکانیک، نتایج مدل-سازی به روش اجزاء محدود ماکرومکانیک (مکانیک پیوسته) با نتایج حاصل از CPFEM مقایسه شده است. شکل مدل مورد استفاده به صورت استوانه با قطر و طول به ترتیب ۱ و ۴ میلی‌متر می‌باشند. شرایط مرزی به گونه ای می‌باشند که مدل از یک انتها در تمام جهات ثابت شده است و از هر گونه چرخشی ممانعت به عمل آمده و در انتهای دیگر جابجایی در راستای محور Z اعمال شده است. مدل در مابقی جهات مقید شده است. جهت گیری اولیه کریستال در قالب اندیس‌های میلر به صورت $[0\ 2\ 1]$ $(\bar{4}\ 1\ \bar{2})$ می‌باشد که در بیان زوایای اولر^۱ معادل $(37.1^\circ, 115.5^\circ, 283.3^\circ)$ قرار می‌گیرد. مدول یانگ فولاد ضدزنگ 316L برابر $E = 200\text{GPa}$ و ضریب پواسون برابر با $\nu = 0.3$ می‌باشد. نمودار تنش- کرنش این فولاد نیز در شکل ۲ آورده شده است. که این خواص در مدل‌سازی به روش المان محدود ماکرومکانیک مورد نیاز خواهند بود.



شکل ۶- مدل استفاده شده برای شبیه سازی آزمون کشش

¹ Euler angles

• نتایج شبیه‌سازی کلاسیک و CPFEM

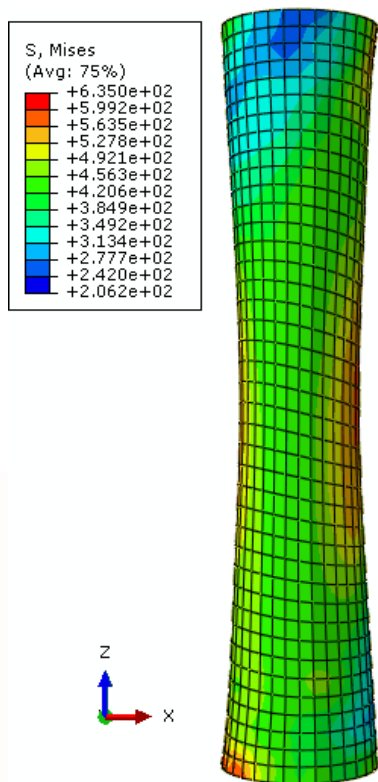
صفحات لغزش یک ساختار پله‌ای را در حین تغییر شکل ایجاد می‌کنند (شکل ۵). هر پله نمایانگر نوارهای لغزشی می‌باشد که در حالت ماکرو این نوارها و خطوط لغزش مفهومی آشنا دارند. در منطقه تغییر شکل که در شکل ۷- (ب) نمایش داده شده است، سطح تغییر شکل هموار است، اما لبه‌ها دارای جهتی مشابه با جهت خطوط لغزش می‌باشند. هرچه ارتفاع نوارهای لغزش کاهش پیدا کند، در ناحیه تغییر شکل سطح هموارتری ایجاد خواهد شد. هنگامی که صفحات کریستالی در حین آزمون کشش روی هم می‌لغزند، منجر به وجود آمدن جابجایی نسبی بین نیمه‌ی بالایی نمونه نسبت به نیمه‌ی پایینی خواهند شد. ولی از آنجا که در حالت واقعی آزمون کشش و همین‌طور در هنگام شبیه‌سازی هر دو سر نمونه مقید می‌شوند، جابجایی نیمه بالایی نسبت به نیمه پایینی محدود می‌شود. در عوض این محدودیت با چرخش صفحات کریستالی در حین تغییر شکل جبران می‌گردد (شکل ۵ و شکل ۷). با توجه به شکل ۹- (الف) ملاحظه می‌شود که تئوری کلاسیک پلاستیسیته یا همان روش المان محدود ماکرومکانیک از شناسایی این پدیده در حین تغییر شکل، ناتوان می‌باشد. اما با استفاده از تئوری کریستال پلاستیسیته و روش تحلیل CPFEM، توانسته‌ایم این مهم را در هنگام تغییر شکل فلزات کریستالی پیش‌بینی کنیم.

در توضیح بیشتر شکل ۹ باید عنوان شود که در شکل (الف) که مسئله با استفاده از تئوری کلاسیک پلاستیسیته حل شده است اثری از چرخش و تحول شبکه^۱ و حالت پله‌ای شدن در اثر چرخش، که همان نقش بافت^۲ در حین تغییر شکل را ایفا می‌کند، مشاهده نمی‌شود. اما در شکل ۹- (ب) این چرخش در شبکه و پله‌ای شدن را، که مطابق با الگوی تغییر شکل تک کریستال است (شکل ۵)، توانسته‌ایم با روابط کریستال پلاستیسیته، پیش‌بینی نماییم.

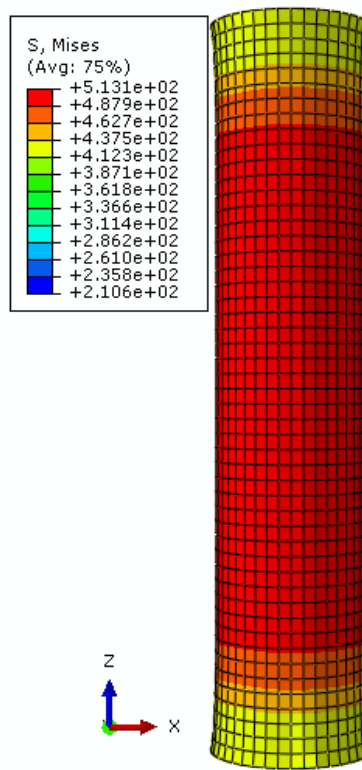
نکته قابل توجه دیگر در رفتار تغییر شکل تک کریستال این است که رفتار موضعی شدن تغییر شکل در تک کریستال هم از آنچه در حالت ماکرو اتفاق می‌افتد، متفاوت است. در حالتی که مدلسازی ماکرومکانیک با استفاده از تئوری کلاسیک پلاستیسیته و مدل ماده پدیداری انجام شود، سطح مقطع در ناحیه گلوپی شدن به صورت یک دایره کامل است که با آنچه در آزمون کشش یک نمونه در حالت ماکرو اتفاق می‌افتد، مطابقت دارد. اما در حالت میکرو و استفاده از تئوری کریستال پلاستیسیته وضعیت متفاوتی وجود دارد و سطح مقطع به شکل یک بیضی می‌باشد. این پدیده در شکل ۸ به نمایش گذاشته شده است. دلیل بیضی شدن سطح مقطع در منطقه موضعی شدن تغییر شکل، چرخش شبکه و محدودیت تغییر شکل کریستال‌ها در امتداد صفحات لغزش می‌باشد.

¹ Lattice evolution

² Texture

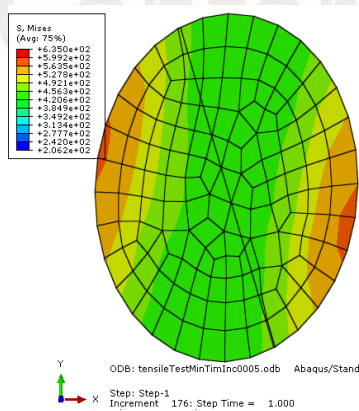


(ب)

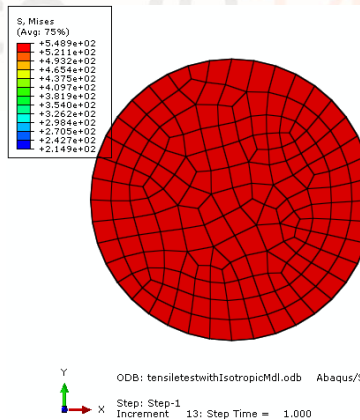


(الف)

شکل ۷- نمای تغییر شکل یافته مدل؛ (الف) مدل کلاسیک، (ب) مدل المان محدود کریستال پلاستیسیته.



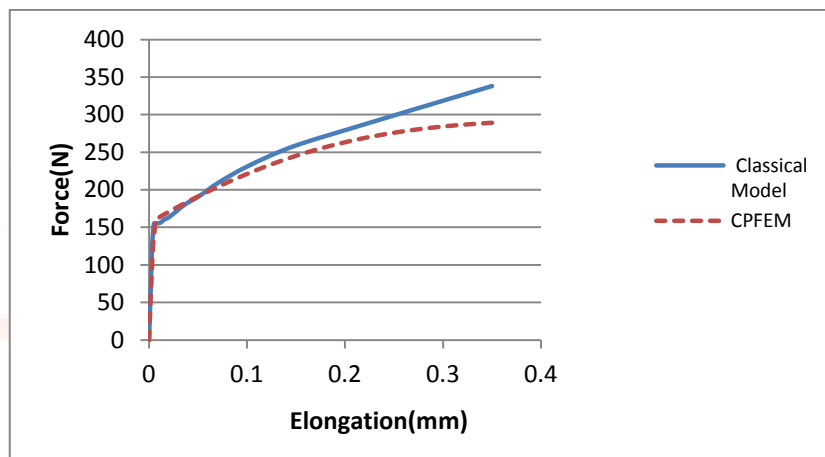
(ب)



(الف)

شکل ۸- سطح مقطع ناحیه‌ای که موضعی شدن تغییر شکل در آن اتفاق می‌افتد، (الف): مدل سازی معمولی، (ب): مدل سازی تک کریستال با استفاده از تئوری کریستال پلاستیسیته (CPFEM)

تفاوت مشهود دیگر در رفتار تغییرشکل تک کریستال و مدل کلاسیک در منحنی بار-ازدیاد طول^۱ آنها می باشد. بار مورد نیاز برای تغییرشکل در مدل کلاسیک (ماده همگن)، بیشتر از بار مورد نیاز یک تک کریستال می باشد. دلیل این مسئله را می توان در وجود مرزدانه ها به عنوان موانعی در سر راه حرکت نابجایی ها در ماده همگن، جستجو کرد. پس می توان نتیجه گرفت که هرچه تعداد دانه در فلز بیشتر باشد نیروی بیشتری برای تغییرشکل نیاز می باشد. شکل ۹ نمایانگر منحنی بار-ازدیاد طول حاصل از تحلیل المان محدود آزمون کشش مدل تک کریستال با استفاده از تئوری کریستال پلاستیسیته و هم چنین نمودار حاصل از تحلیل اجزا محدود مدل کلاسیک است.

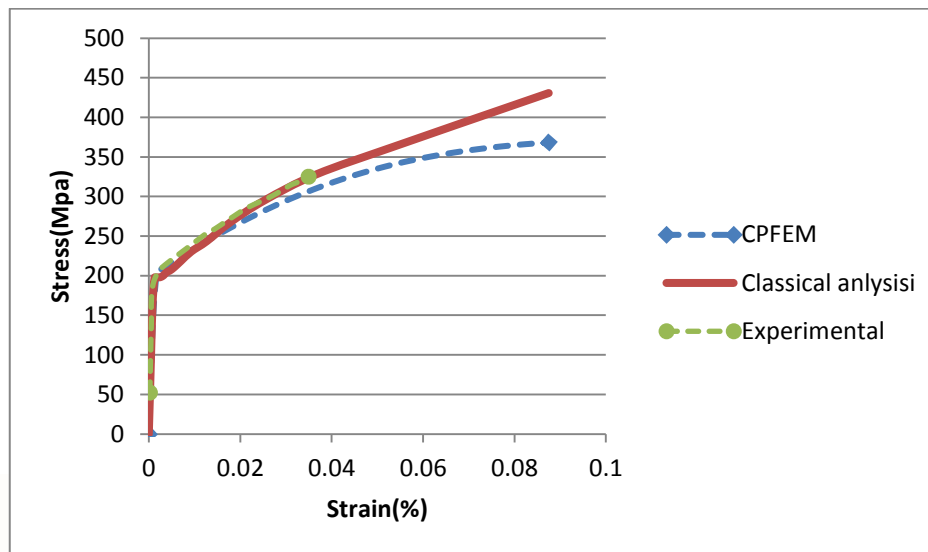


شکل ۹- منحنی بار-جابجایی برای دو مدل سازی کریستال پلاستیسیته و کلاسیک

نتیجه حاصل شده در این قسمت در تطابق با فیزیک تغییرشکل مواد کریستالی است که براین واقعیت که مواد ریزدانه (ماده با تعداد دانه های بیشتر) در دمای پایین استحکام بالاتری دارند صحه می گذارند (Dieter, 1976).

در شکل ۱۰ مقایسه بین منحنی های تنش- کرنش حاصل از دو مدل فوق الذکر با منحنی تجربی انجام شده است. همان طور که پیش بینی می شد، منحنی های حاصل از آزمون تجربی و روش اجزاء محدود ماکرو مکانیک بر یکدیگر منطبق هستند. ولی منحنی بدست آمده از شبیه سازی آزمون کشش تک کریستال به مراتب مقادیر کمتری را نشان میدهد. و این بدین معنی می باشد که بار مورد نیاز برای تغییرشکل تک کریستال به مراتب کمتر از بار مورد نیاز برای تغییرشکل پلی کریستال ها می باشد. در واقع با افزایش تعداد دانه ها نواحی مرزدانه ای افزایش پیدا می کنند و نواحی مرزدانه ای بیشتر یعنی موانع بیشتر در سر راه حرکت نابجایی هایی که با حرکت خود تغییرشکل پلاستیک را بوجود می آورند. وجه اهمیت این نتیجه از آن جهت است که قادر بوده ایم این نتیجه را بدون انجام آزمون تجربی کشش روی یک تک کریستال، و صرفا با روش اجزاء محدود کریستال پلاستیسیته پیش بینی کنیم.

¹ Force-elongation



شکل ۱۰- مقایسه نمودار تنش کرنش برای مقادیر تجربی، تحلیل کلاسیک، و تحلیل کریستال پلاستیسیته (CPFEM)

روش پیشنهاد شده در این پایان‌نامه جهت مطالعه رفتار تغییر شکل پلاستیک فلزات کریستالی و بطور خاص فولاد ضد زنگ 316L می‌تواند به عنوان نقطه شروعی برای تحقیقات کامل‌تر و گسترده‌تر در زمینه‌های شکل‌دهی میکرو، شناسایی ترک‌های میکرو و همچنین مدل‌سازی رفتار آلیاژهای دوفازی از قبیل آلیاژهای تیتانیوم و نیکل و همچنین فولادهای دوفازی فریت-مارتنزیت یا فریت-آستنیت که از خانواده فولادهای ضدزنگ می‌باشند مورد استفاده قرار گیرد. انجام تحلیل اجزاء محدود بر روی مدل‌های میکروساختار پلی‌کریستال،¹ RVES، و تجزیه تحلیل تاثیر اندازه و تعداد دانه و جهات کریستالی بر روی رفتار ماده در مقیاس ماکرو از موارد پژوهش‌های آتی مولفین این مقاله می‌باشد. استفاده از متدولوژی ارائه شده جهت شناسایی حد پایین برای تعداد دانه به نحوی که با آن تعداد دانه ماده رفتار تغییر شکل همگن و یکنواختی از خود نشان دهد، موضوع مهم دیگری است. همچنین از روش ارائه شده در این مقاله می‌توان در زمینه مدل‌سازی رشد ترک‌ها در زمینه میکروساختار نیز بهره جست. اخیراً مطالعه تاثیرات اندازه دانه بر روی شکل‌پذیری در فرایندهای شکل‌دهی و بخصوص شکل‌دهی گرم بسیار مورد توجه قرار گرفته است، با استفاده از روش ارائه شده در این مقاله می‌توان بدون نیاز به انجام عملیات حرارتی و آزمون‌های هزینه‌بر با تولید میکروساختارها با تعداد دانه‌های مختلف و اندازه دانه‌های متفاوت تاثیر این پارامترها را مورد مطالعه قرار داد.

¹ Representative volume element

Asaro, R. J., & Lubarda, V. A. (2006). *Mechanics of Solid and material*. United States of America Cambridge University Press

Dieter, G. (1976). *Mechanical metallurgy*: Mc Graw Hill

Erich, S. (1924). Paper presented at the international conference on applied mechanic

Gonzalez, D. (2012). *A contribution on modelling deformation and residual stress in 3D polycrystals*. PhD, Faculty of Engineering and Physical Sciences, Uk

Han, T., & P, D. (2005). Lattice Strain Partitioning in a Two-phase Alloy and its Redistribution upon Yielding *Materials Sci. and Eng*, 405, 18-33 .

Huang, Y. (1991). A USER-MATERIAL SUBROUTINE INCORPORATING SINGLE CRYSTAL PLASTICITY IN THE ABAQUS FINITE ELEMENT PROGRAM US: Division of Applied Sciences Harvard University, Cambridge, Massachusetts.

M. Marvi-Mashhadi, M. M., A. Rezaee-Bazzaz. (2012). FEM modeling of the flow curves and failure modes of dual phase steels with different martensite volume fractions using actual microstructure as the representative volume. *Computational Materials Science*, 197–202 .

McGarry, J. P., O'Donnell, B. P., McHugh, P. E., & McGarry, J. G. (2004). Analysis of the mechanical performance of a cardiovascular stent design based on micromechanical modelling. *Computational Materials Science*, 31, 421–438 .

Metallforschung, R. a. (2002)

Paul, S. K. (2013). Real microstructure based micromechanical model to simulate microstructural level deformation behavior and failure initiation in DP 590 steel. *Materials and Design* 397-406 Peirce D., A. R. J., Needleman A. (1982). An analysis of nonuniform and localized deformation in ductile single crystals. *Acta Metallurgica et Materialia*, 30, 1082 .

Robertson, I., & Beaudoin, A. (2008). In-Situ TEM Straining of Pre-Deformed Materials to Determine Constraints of Dislocation-Boundary Interactions

WATANABE, T. (1993). Grain boundary design and control for high temperature materials. *Materials Science and Engineering*, 11-28 .